

(185) 通気率測定による耐火れんがの気孔構造解析

名古屋大学工学部 横山 誠二 (大学院)

工博 鰐部 吉基 工博 坂尾 弘

1. 緒言 前報^{1~3)}では、耐火れんがにおける溶融スラグの漏れ挙動について検討した。本研究では、溶融スラグ・ガラス・タルなどの耐火れんが内への侵入現象を理解するために必要な、れんが特性の一つである通気率を測定した。通気率は流体が耐火れんが内を透過する程度を表わす性質で、貫通気孔の性状に関係する。得られた結果より、耐火れんがの気孔構造を検討した。

2. 実験方法 通気率の測定には、市販の耐火れんがより気体について $\phi 20 \times 10 \text{ mm}$ 、水について $\phi 20 \times 5 \text{ mm}$ の円柱形試料を切り出して用いた。耐火れんがは、アルミニナシリカ質の耐火れんが(見掛け気孔率 11~21%) 7種類と耐火断熱れんが(見掛け気孔率 58%) の計 8 種類である。透過流体として、気体には N_2 , He , CO_2 、液体には蒸留水を用いた。

3. 結果および考察 気体における通気率測定結果の一例を Fig. 1 に示す。図中の η は気体の粘性係数、 n はモル流量、 ΔP と P は試料両端の差圧と平均圧力、 A_0 と L は試料の断面積と長さである。通気率は、図中の直線の傾きで表わされる。直線の傾きより N_2 , He , CO_2 の通気率は、 1.43 , 1.46 , $1.46 \times 10^{-4} \text{ m}^2$ となり、実験誤差範囲内で一致する。この直線は原点を通らず、正の切片をもつため、層流以外の流れの寄与が考えられる。一般に気体流動は、平均自由行程の約 10 倍以下の気孔径ではスリップ流や分子流となる。⁴⁾

Fig. 2 に水銀圧入法による気孔径分布と、実験条件下における各気体の平均自由行程を併せて示した。ただし、水銀と耐火物との接触角を 140° として気孔径を算出した。通気率に寄与する気孔と水銀圧入法のそれとは異なると思われるが、平均自由行程の 10 倍以下の気孔径の存在が認められる。本実験に用いた耐火れんがの平均気孔径と通気率は、JRS 2115-84 の測定範囲を満足するが、通気率および水銀圧入法の結果は、スリップ流などの影響を無視できないことを示している。そこで本研究では、層流(粘性流)と拡散流れの両方が寄与する Carman の式⁵⁾を用いて検討した。

1) 横山 鰐部 坂尾: 鉄と鋼 68 (1982) S167

2) 横山 鰐部 坂尾: 鉄と鋼 68 (1982) S934

3) 横山 藤澤 鰐部 坂尾: 鉄と鋼 70 (1984) S1006

4) 久保ら編: 粉体 理論と応用 (1979) P331 丸善

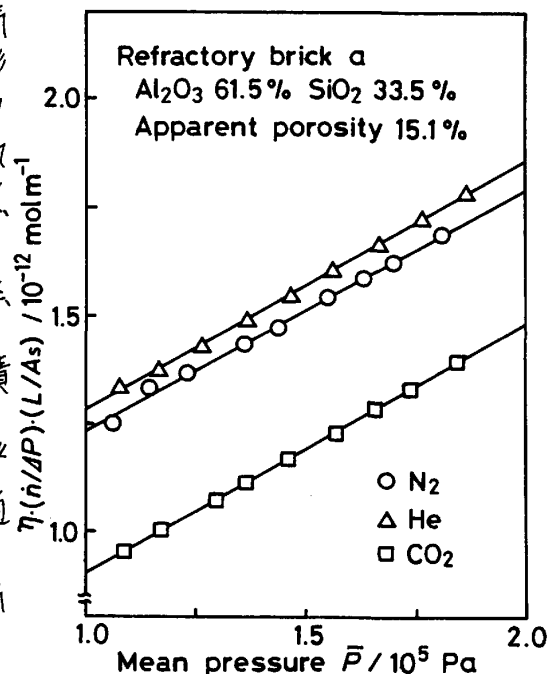
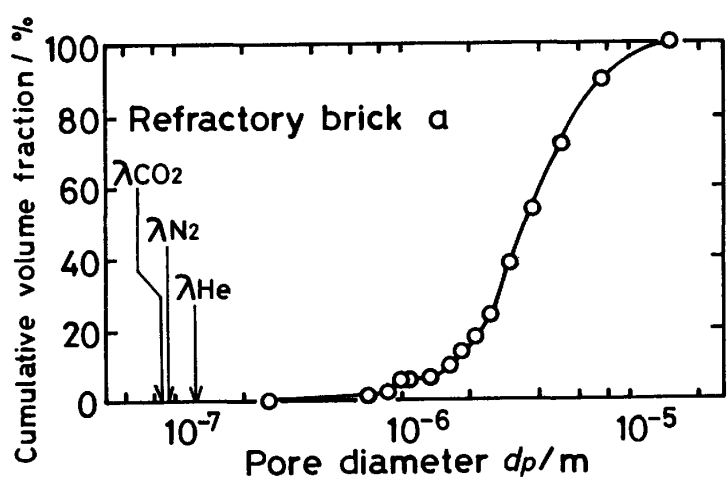
Fig. 1 Specific flowrate of N_2 , He , CO_2 vs. mean pressure

Fig. 2 Relation between pore diameter distribution and mean free path

5) P.C. Carman: FLOW OF GASES THROUGH POROUS MEDIA (1956) P82 (Butterworths)